

کنترل بهینه غیرخطی ملاقات مداری برای مدار هدف دایروی و بیضوی

محمد نوابی^{۱*}، مهدی رضا اخلو مدی^۲

۱- استادیار، مهندسی هوافضا، دانشگاه شهید بهشتی، تهران

۲- دانشجوی کارشناسی ارشد، مهندسی هوافضا، دانشگاه شهید بهشتی، تهران

* تهران، صندوق پستی ۱۹۸۳۹۶۳۱۱۳

چکیده
در این مقاله برای مدار دایروی دینامیک ملاقات به فرم مرتبه دوم معادلات حرکت نسبی غیرخطی کلوهسی-ویلتشار و برای مدار بیضوی معادلات شونر-همپل متغیر با زمان لحظه شده است. تابع هزینه کنترل بهینه طوری در نظر گرفته شده است که علاوه بر بهینگی مصرف سوخت، حالتهای همواری استخراج شود. کنترل بهینه غیر خطی برای این مساله با استفاده از معادله ریکاتی وابسته به حالت بر اساس روش تحلیلی مقادیر ویژه ماتریس همیلتونین استخراج شده و نتایج با تنظیم کننده مربعی خطی مقایسه شده است. مقاومت، پایداری و همواری جواب-ها در حضور عدم قطعیت‌های وارد به سیستم نشان داده شده و کارآمدتر بودن کنترل کننده غیرخطی نسبت به روش‌های موجود مشاهده شده است. به علاوه کنترل بهینه برای ملاقات با هدف در مدار بیضوی به صورت مستقل حل و تحلیل شده است. نتایج و مسیرهای بهینه با استفاده از انتقالی مناسب در دستگاه اینرسی بیان شده اند تا بتواند مورد استفاده در اهداف هدایتی و ناویری قرار گیرد.

اطلاعات مقاله

مقاله پژوهشی کامل

دربافت: ۲۳ اردیبهشت ۱۳۹۴

پذیرش: ۰۵ مهر ۱۳۹۴

ارائه در سایت: ۳۰ آبان ۱۳۹۴

کلید واژگان:

مقالات و اتصال مداری

معادلات کلوهسی-ویلتشار

شونر-همپل

کنترل بهینه غیرخطی

معادله ریکاتی وابسته به حالت

Nonlinear Optimal Control of Orbital Rendezvous Problem for Circular and Elliptical Target Orbit

Mohammad Navabi*, Mahdi Reza Akhloumadi

New Technologies Engineering Faculty, Shahid Beheshti University, Tehran, Iran.

*P.O.B 1983963113, Tehran, Iran, m_navabi@sbu.ac.ir

ARTICLE INFORMATION

Original Research Paper

Received 13 May 2015

Accepted 27 September 2015

Available Online 21 November 2015

Keywords:

Rendezvous and docking
Clohessy-Wiltshire
Schauner-Hempel
Nonlinear Optimal Control
State Dependent Riccati Equation

ABSTRACT

In this paper the attitude and position of a chaser spacecraft, desired to rendezvous with a target spacecraft, is determined with respect to the target, as a result, relative equations are considered. The chaser is controlled by actuators to rendezvous safely and stably under the conditions and requirements. In this paper rendezvous dynamics for target in a circular orbit is assumed as nonlinear second-order Clohessy-Wiltshire relative motion equations. Shauner and Hempel relative equations are considered for target in elliptical orbit. Cost function has been chosen in a manner so as to minimize the control effort and to give smooth states. Nonlinear optimal control for rendezvous with a target in circular orbit using state dependent Riccati equation by means of eigenvectors of the Hamiltonian matrix is compared with linear quadratic regulator method for both linear and nonlinear systems and then stability and robustness of the results are analysed. Optimal control of an elliptical rendezvous is discussed independently. For navigational purposes it is important to express relative motion in inertial frame, this is accomplished by introducing an appropriate transformation.

هدف معرف فرآیند اتصال فضایی می‌باشد. امروزه این مساله در ماموریت‌های هوافضایی کاربرد فراوانی دارد که از جمله آن‌ها می‌توان به حمل محموله یا خدمه به ایستگاه‌های فضایی، سرویس‌رسانی فضایی و یا ماموریت‌های سیاره‌ای اشاره کرد. برای مثال فضایی‌سایوز هر شش ماه یکبار به ایستگاه فضایی بین‌المللی متصل می‌شود و فضانوردان را به آن منتقل می‌کند. مساله‌ی ملاقات مداری از اوایل دهه‌ی شصت میلادی به دلیل نیازهای عملیاتی فضایی ذهن دانشمندان را به خود مشغول کرده بود. برای اولین بار باز آلدرین^۱ در سال ۱۹۶۳ رساله دکتری خود [۱] را با عنوان تکنیک‌های

1. Buzz Aldrin

ملاقات فضایی مانوری است که در آن دو فضایی‌پما در یک مدار با فاصله‌ی بسیار کم در حد چند متر تا پنجاه سانتی متر به یکدیگر می‌رسند. ملاقات به تطبیق و برابر شدن سرعت دو فضایی‌پما نیازمند است تا آن‌ها بتوانند در یک فاصله‌ی ثابت در فاز حفظ ایستگاه باقی بمانند. ملاقات ممکن است با پهلوگیری یا اتصال دنبال شود، فرایندی که معرف ارتباط فیزیکی بینایین فضایی‌پماها است و لینکی سخت افزاری بین آن‌ها برقرار می‌شود. در واقع صفر شدن سرعت نسبی دو فضایی‌پما در فاصله‌ی بسیار نزدیک معرف ملاقات و تنظیم وضعیت فضایی‌پما ملاقات کننده نسبت به درگاه اتصال فضایی‌پما

Please cite this article using:

M. Navabi, M.R. Akhloumadi, Nonlinear Optimal Control of Orbital Rendezvous Problem for Circular and Elliptical Target Orbit, *Modares Mechanical Engineering*, Vol. 15, No. 12, pp. 132-142, 2015 (In Persian)

برای ارجاع به این مقاله از عبارت ذیل استفاده نمایید:

عدم قطعیت‌ها بر روشهای کنترلی پرداخته شده است. عملکرد مناسب روش کنترل بهینه غیرخطی نشان داده شده است.

رویکردهای مختلفی برای کنترل چنین سیستمی وجود دارد، کنترل بهینه در صدد حداقل کردن یک تابع هزینه می‌باشد. ساخت و زمان می‌توانند از جمله این توابع هزینه باشد. ساخت در این مساله بسیار حائز اهمیت است، چرا که با وجود محدودیتهای وزنی و سیستمی و عملیاتی طراحی فضاییما حمل مقدار زیاد ساخت امکان پذیر نمی‌باشد. لیکن به دلیل ماهیت غیرخطی مساله، حل حلقه بسته‌ی ساخت بهینه منجر به تولید مسیرهای ناهموار خواهد شد که از لحاظ مهندسی قابل قبول نیست به همین دلیل در کنار حداقل کردن ساخت می‌باید هموار کردن مسیر نیز لحاظ شود. در این مقاله فرض بر این است که ملاقات در مدارات دایروی و یا بیضوی در نزدیکی زمین صورت می‌پذیرد. در ادامه ابتدا معادلات خطی و غیرخطی دینامیک سیستم مطرح می‌شود، سپس تابع هزینه معرفی شده و به تنظیم کننده‌ی مربعی غیرخطی⁴ (NOR) و روش معادله ریکاتی وابسته به حالت پرداخته می‌شود. بعد از آن روش حل معادله ریکاتی وابسته به حالت به وسیله ماتریس همیلتونین بیان می‌شود، سپس انتقال به دستگاه اینرسی استخراج می‌شود و شبیه‌سازی برای مدار دایروی و بیضوی در حضور عدم قطعیت‌ها انجام می‌شود. در نهایت به بیان نتایج اصلی از کار انجام شده پرداخته می‌شود.

2- معادلات خطی و غیرخطی نسبی ملاقات مداری

برای بیان حرکت فضایی‌های رهگیر نسبت به فضایی‌های هدف از معادلات حرکت نسبی کلوهسی- وایلتشایر استفاده می‌شود. با فرضیات و نیازهای مختلف می‌توان فرم‌های مختلفی از این معادلات را استخراج کرد. وقتی سرعت‌ها و فواصل نسبی صفر شوند ملاقات صورت می‌پذیرد [18]. دستگاه مختصات مرجع شکل 1 که مرکز آن در روی مرکز جرم فضایی‌های هدف قرار دارد و سایر مختصات نسبت به این نقطه بیان می‌شود در نظر گرفته می‌شود. که محور x در شکل 1 در جهت بردار سرعت فضایی‌های هدف قرار گرفته است، محور z عمود بر مدار حرکت فضایی‌های هدف در جهت مخالف بردار مومنتوم زاویه‌ای مدار فضایی‌ها است و نهایتاً محور z در جهت شعاعی فضایی‌های هدف دستگاه را کامل می‌کند. تقریب به فضایی‌های هدف در این سه جهت صورت می‌گیرد، اگر تقریبی به هدف در جهت شعاعی صورت پذیرد- R -Bar نامیده می‌شود، در صورتی که تقریب در جهت مماسی صورت پذیرد- V -Bar نامیده می‌شود و اگر نهایتاً تقریب در جهت خارج از صفحه مدار هدف صورت پذیر H -Bar نامیده می‌شود.

2-1- معادلات خطی ملاقات با هدف در مدار دایروی

با توجه به این دستگاه مختصات معادلات حرکت نسبی با فرض مدار دایروی هدف و همچنین خیلی کمتر بودن فاصله‌ی نسبی رهگیر تا هدف نسبت به فاصله‌ی فضایی‌های هدف تا زمین، همچنین با صرف نظر از اغتشاشات [19] به فرم خطی معادله (1) بدست می‌آید:

$$\begin{aligned} \ddot{x} - 2\omega_0 \dot{z} &= a_x \\ \ddot{y} + \omega_0^2 y &= a_y \\ \ddot{z} + 2\omega_0 \dot{x} - 3\omega_0^2 z &= a_z \end{aligned} \quad (1)$$

که در معادلات فوق x, y, z فواصل نسبی رهگیر نسبت به هدف، a_x, a_y, a_z شتاب در راستاهای مربوطه و ω_0 معروف سرعت زاویه‌ای فضایی‌های هدف در مدار خود می‌باشد.

4. Non-Linear Quadratic Regulator

هدایت افق دید برای ملاقات مداری با هدف سرنشین دار ارائه داد. او با این کار بایی را در موضوع ملاقات و اتصال مداری گشود. روشهای کنترلی مختلف راجع به کنترل این مساله به کار گرفته شده است. همچنین در بعضی کارها قیودی برای جلوگیری از تصادم دو فضاییما [3,2] و یا ممانعت از برخورد با زباله‌های فضایی در مسیر ملاقات [4] پرداخته شده است، چنین حالاتی به صورت قیود در مساله لحاظ می‌شوند. از نکات مورد توجه در زمینه‌ی ملاقات مداری بررسی ملاقات و اتصال خودکار فضایی بوده است [5,1].

کنترل تطبیقی برای تخمین و تنظیم پارامترها برای فرایند ملاقات و اتصال مورد استفاده قرار گرفته شده است [7.6]. برای کنترل فرایند ملاقات و اتصال مداری روشهای تکاملی [9,8] و فازی [8] نیز مورد توجه محققان بوده است. به دلیل وجود عدم قطعیت‌های سیستم در پارامترهای سیستم و یا اغتشاشات از روشهای مقاوم جدید و مناسبی مانند اج-بی‌نهایت¹ نیز برای حل این مساله استفاده شده است [7-5] و [10-13].

همچنین حل ساخت بهینه [14,2] و زمان بهینه برای مساله ملاقات و یا بهینه سازی مسیر ملاقات [14] مورد توجه قرار گرفته است. از روش‌های کنترلی دیگر که در این زمینه به کار گرفته شده است می‌توان به کنترل مدل پیش‌بین² اشاره کرد [15]. کنترل بهینه‌ی مساله ملاقات و اتصال به صورت خطی و غیرخطی با روشهای مختلف و گاه نوآورانه و ابتکاری مورد بررسی محققان قرار گرفته شده است [14-10,3]. مقالات معمولاً مساله ملاقات و اتصال را به صورت جداگانه مد نظر قرار می‌دهند در صورت عدم نامیزانی در تراسترها با مرکز جرم چنین رویکردی کاملاً صحیح می‌باشد و ملاقات و اتصال و در واقع وضعیت و موقعیت فضاییما غیرکوپل می‌شوند. در مرجع [16] به مساله آرایش پروازی و استخراج معادلات موقعیت نسبی در مدارات هدف بیضوی و دایروی بدون اعمال کنترل و در [17] به کنترل بهینه مساله ملاقات فضایی در مدار دایروی با استفاده از روشهای عددی پرداخته شده است.

با بررسی تمامی روشهای کنترل بهینه صورت گرفته در مقالات رساله‌های ذکر شده مشخص می‌شود که هیچ کدام از مراجع از روش حل معادله‌ی ریکاتی وابسته به حالت³ (SDRE) و حل آن به وسیله ماتریس همیلتونین برای مساله ملاقات فضایی استفاده نکرده‌اند. در صورتی که با توجه به نتایج حاصل از این مقاله می‌توان ادعا کرد که روش مذکور از نظر محاسباتی، سادگی ریاضیاتی و مقاومت نسبت به تغییر حالت‌ها و زمانی به صرفه می‌باشد و جواب‌های استخراج شده از این روش در مقایسه با روش کنترل تنظیم کننده مربعی خطی و کنترل مشتق گیر تناسبی بسیار مقبول‌تر می‌باشد. همچنین تا حدی نسبت به عدم قطعیت‌های جرمی و یا پارامتری مدار نیز مقاوم است.

در اکثر کارهای گذشته برای مانور ملاقات و اتصال هدفی در مدار دایروی مد نظر قرار گرفته است، در صورتی که در این مقاله کنترل بهینه ملاقات در مدار بیضوی نیز حل شده است. همچنین کارهای گذشته سیستم معادلات برای مدار دایروی را نیز خطی در نظر گرفته شده است. در کارهای این کار این سیستم به صورت غیرخطی در نظر گرفته شده است. در کارهای گذشته از بیان حرکت نسبی در دستگاه اینرسی خودداری شده است ولی در کار حاضر به این موضوع نیز پرداخته شده است. در مقاله حاضر به بررسی اثر

1. H-infinity

2. Model Predictive

3. State Dependent Riccati Equation

بهینه حداقل سوخت ناهموار خواهند بود، که از لحاظ عملی مشکلات فراوانی خواهد داشت. که در تابع هزینه (4) ، $x(t)$ معرف بردار حالت سیستم است و $u(t)$ کنترل است. همچنین شرایط نهایی مطلوب صفر شدن سرعتها و موقعیت‌های نسبی می‌باشد تا ملاقات صورت پذیرد، به همین دلیل شکل تنظیم کننده مربعی خطی بدون ترم تعقیب با شرایط نهایی صفر مد نظر قرار داده شده است که در رابطه (5) متغیرهای حالت و کنترل معروفی شده‌اند:

$$x(t) = \begin{bmatrix} x \\ y \\ z \\ \dot{x} \\ \dot{y} \\ \dot{z} \end{bmatrix}, u(t) = \begin{bmatrix} U_x \\ U_y \\ U_z \end{bmatrix} \quad (5)$$

در رابطه (4) ماتریس‌های R, Q ماتریس‌های وزنی هستند و ناظر بر اهمیت حالت و یا کنترل خاصی برای تنظیم شدن می‌باشند. در این مقاله این ماتریس‌ها قطری و ثابت در نظر گرفته شده‌اند و به ترتیب می‌بایست مثبت نیمه معین و مثبت معین باشند. وجود ترم $x(t)$ در تابع هزینه باعث هموار شدن جواب‌ها خواهد شد، همچنین این ترم باعث مقاومت نسبت به تغییر حالت‌ها خواهد شد [23].

4- مساله تنظیم کننده مربعی غیرخطی

روش تنظیم کننده مربعی خطی⁴ (LQR) با حداقل کردن معیار عملکرد تعريف شده توسط طراح برای سیستم‌های خطی شده مناسب است. ولی برای یک سیستم غیرخطی رویکرد تنظیم کننده مربعی غیرخطی لازم است [24]. در سیستم غیرخطی حالت‌ها و کنترل به صورت ترم‌های غیرخطی ظاهر می‌شوند. سیستم معادله (6) را در نظر گرفته:

$$\begin{aligned} \dot{x} &= f(x(t)) + g(x(t), u(t)) \\ x(0) &= x_0 \end{aligned} \quad (6)$$

و تابع هزینه (7) که می‌بایست توسط کنترل بهینه حداقل شود:

$$J(x_0, u) = \frac{1}{2} \int_0^{\infty} [x(t)^T Q x(t) + u(t)^T R u(t)] dt \quad (7)$$

برای حل (7) بدون لحاظ کردن قیود می‌توان از تابع همیلتونین استفاده کرد. با تشکیل تابع همیلتونین (8) و لحاظ کردن شرایط لازم بهینگی (9) کنترل بهینه به صورت (10) بر اساس سومین معادله (8) استخراج می‌شود، که در آن λ کمک حالت سیستم می‌باشد:

$$\begin{aligned} H &= \frac{1}{2} x(t)^T Q x(t) + \frac{1}{2} u(t)^T R u(t) + \\ &\quad \lambda^T(t) A(t) x(t) + \lambda^T(t) B(t) u(t) \end{aligned} \quad (8)$$

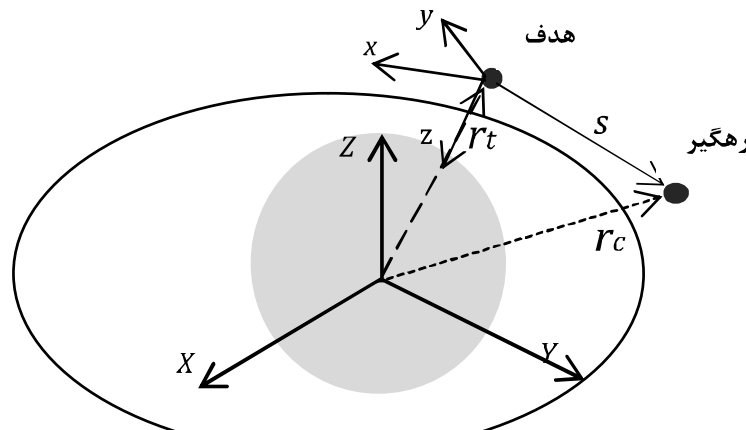
$$\begin{aligned} \frac{\partial H}{\partial u} &= 0 = R u + \frac{\partial g^T}{\partial u}(x, u) \lambda \\ \frac{\partial H}{\partial \lambda} &= \dot{x} = f(x) + g(x, u) \end{aligned} \quad (9)$$

$$\begin{aligned} \frac{\partial H}{\partial x} &= -\dot{\lambda}^T = Q x - \frac{\partial f^T}{\partial x}(x) \lambda + \frac{\partial g^T}{\partial x}(x, u) \lambda \\ u(t) &= -R^{-1} \frac{\partial g^T}{\partial u}(x(t), u(t)) \lambda(t) \end{aligned} \quad (10)$$

4-1- استخراج معادله ریکاتی وابسته به حالت

روش معادله ریکاتی وابسته به حالت راهی برای حل کردن معادلات (9) برای

4. Linear Quadratic Regulator



شکل 1 دستگاه مختصات چرخان متصل به هدف

2- معادلات غیرخطی ملاقات با هدف در مدار دایروی

اگر نتوان فواصل نسبی را بسیار کوچکتر از فاصله ماهواره هدف تا زمین در نظر گرفت و همچنان با فرض عدم حضور اغتشاشات مداری و مدار تقریباً دایروی هدف، شکل دیگری از معادلات کلوهسی-وایلتشاریر به فرم غیرخطی مرتبه دوم معادله (2) توسط لندن¹ [20] استخراج شده است.

$$\begin{aligned} \ddot{x} - 2\omega_0 \dot{z} + 3\omega_0^2 \frac{xy}{r_t} &= a_x \\ \ddot{y} + \omega_0^2 y + \frac{3\omega_0^2 yz}{r_t} &= a_y \\ \ddot{z} + 2\omega_0 \dot{x} - 3\omega_0^2 z + \frac{3}{2}\omega_0^2 \frac{x^2}{r_t} + \frac{3}{2}\omega_0^2 \frac{y^2}{r_t} - 3\omega_0^2 \frac{z^2}{r_t} &= a_z \end{aligned} \quad (2)$$

2-3- معادلات خطی متغیر زمان ملاقات با هدف در مدار بیضوی

اگر ماهواره هدف در مداری بیضوی باشد، شکل معادلات سیستم عوض خواهد شد، سرعت زاویه‌ای مدار بیضوی ماهواره هدف همواره بر حسب شاعع مداری تغییر می‌کند. شکل اصلی این معادلات به صورت خطی توسط شاونر و همپل² [21] استخراج شده است که به معادلات T-H معروف است. این معادلات با یک ماتریس انتقال حالت که توسط یاماناکا و انکرسن³ استخراج شده است [22] با فرض مستقل بودن آنمالی مدار ماهواره هدف به صورت معادلات (3) قابل بیان هستند:

$$\begin{aligned} \ddot{x} + k\omega^{3/2} x - 2\omega \dot{z} - \dot{\omega} z - \omega^2 x &= a_x \\ \ddot{y} + k\omega^{3/2} y &= a_y \\ \ddot{z} - 2k\omega^{3/2} z + 2\omega \dot{x} + \dot{\omega} x - \omega^2 z &= a_z \end{aligned} \quad (3)$$

در معادلات (3) مشاهده می‌شود که سرعت و مشتق سرعت زاویه‌ای مدار هدف که با زمان متغیر هستند، ظاهر شده‌اند. همچنین در معادلات (3) می‌باشد.

$$k\omega^{3/2} = \frac{\mu}{r^3}$$

3- تابع هزینه به فرم تنظیم کننده مربعی

به منظور حداقل کردن تلاش کنترلی یا به عبارت دیگر حداقل کردن مصرف سوخت در عین هموار کردن مسیر برای جلوگیری از صدمات سازه‌ای و اغتشاشات تابع هزینه به فرم تنظیم کننده (4) بیان می‌شود.

$$J = \frac{1}{2} \int_0^{t_f} [x(t)^T Q x(t) + u(t)^T R u(t)] dt \quad (4)$$

در صورت لحاظ نکردن ترم مربوط به حالت در تابع معیار عملکرد جواب‌های

1. London

2 Shauner and Hempel

3 Yamanaka and Ankersen

ریکاتی با ماتریس‌های A, B وابسته به حالت است، که با انتگرال گیری از آخر قابل حل است. پارامترسازی و یا فاکتورگیری SDC برای مساله ملاقات مداری بر اساس معادلات (5) و (2) در این مقاله به صورت (17) انتخاب شده است:

$$A = \begin{bmatrix} 0 & 0 & 0 & 1 & 0 & 0 \\ 0 & 0 & 0 & 0 & 1 & 0 \\ 0 & 0 & 0 & 0 & 0 & 1 \\ \frac{3\omega_0^2 z}{r_t} & 0 & 0 & 0 & 0 & 2\omega_0 \\ 0 & -\omega_0^2 & -\frac{3\omega_0^2 y}{r_t} & 0 & 0 & 0 \\ -\frac{3\omega_0^2 x}{2r_t} & -\frac{3\omega_0^2 y}{2r_t} & 3\omega_0^2 + \frac{3\omega_0^2 z}{r_t} & -2\omega_0 & 0 & 0 \end{bmatrix} \quad (17)$$

همچنین برای فرم خطی معادلات کلوهسی-ولتشایر ماتریس سیستم A به صورت (18) قابل استخراج است:

$$A = \begin{bmatrix} 0 & 0 & 0 & 1 & 0 & 0 \\ 0 & 0 & 0 & 0 & 1 & 0 \\ 0 & 0 & 0 & 0 & 0 & 1 \\ 0 & 0 & 0 & 0 & 0 & -2\omega_0 \\ 0 & -\omega_0^2 & 0 & 0 & 0 & 0 \\ 0 & 0 & 3\omega_0^2 & -2\omega_0 & 0 & 0 \end{bmatrix} \quad (18)$$

برای ملاقات در مدار بیضوی ماتریس سیستم متغیر با زمان به صورت (19) استخراج شده است:

$$A = \begin{bmatrix} 0 & 0 & 0 & 1 & 0 & 0 \\ 0 & 0 & 0 & 0 & 1 & 0 \\ 0 & 0 & 0 & 0 & 0 & 1 \\ \frac{-\mu}{r^3} + \omega^2 & 0 & \dot{\omega} & 0 & 0 & 2\omega \\ 0 & \frac{-\mu}{r^3} & 0 & 0 & 0 & 0 \\ -\dot{\omega} & 0 & \omega^2 + \frac{2\mu}{r^3} & -2\omega & 0 & 0 \end{bmatrix} \quad (19)$$

4-2-4- حل به وسیله تشکیل ماتریس همیلتونین

برای حل معادله (16) و استخراج کنترل بهینه u و حالت‌های x روش‌های مختلف وجود دارد. پس از تشکیل و استخراج معادلات ریکاتی وابسته به حالت یکی از روش‌های حل و استخراج جواب تشکیل ماتریس همیلتونین است. بدین صورت ابتدا ماتریس همیلتونین تشکیل داده می‌شود و سپس از روی بردارهای ویژه متناظر با مقادیر ویژه با قسمت حقیقی منفی اظهار نظر می‌شود. ماتریس همیلتونین به فرم معادله (20) تشکیل داده می‌شود:

$$HM = \begin{bmatrix} A(x) & -B(x)R^{-1}B^T(x) \\ -Q(x) & -A^T(x) \end{bmatrix} \quad (20)$$

سایز ماتریس همیلتونین HM برابر با $2n \times 2n$ است. با این خاصیت مهم که تمام مقادیر ویژه‌ی آن حول محورهای موهومی و حقیقی متقارن هستند. جواب پایدار کننده تنها وقتی موجود است که HM ، n مقدار ویژه در نیم صفحه‌ی چپی داشته باشد. از روی این n مقدار ویژه، n بردار ویژه متناظر استخراج می‌شود که از آنها برای استخراج P در معادله‌ی ریکاتی وابسته به حالت (16) استفاده می‌شود، که مطلوب P به صورت معادله

استخراج کنترل بهینه فراهم می‌کند. این روش یک کنترل بهینه محلی را بدست می‌دهد که لزوماً بهینه گلوبال نیست. اولین گام در این روش شبکه خطی سازی دینامیک سیستم به صورت معادله (11) است:

$$\begin{aligned} f(x) &= A(x)x \\ g(x, u) &= B(x, u)u \end{aligned} \quad (11)$$

این فرآیند شبکه خطی سازی با عنوان پارامترسازی ضرایب وابسته به حالت¹ (SDC) شناخته می‌شود، این نوع فاکتورگیری وقتی تعداد حالت بیشتر از یک باشد یکتا نیست. در این پارامترسازی می‌باشد معادله (12) برقرار باشد:

$$f(0) = 0 \quad (12)$$

این به این معنی است که مرکز نقطه تعادلی برای سیستم است. در صورتی که در مدل دینامیک سیستم ترم‌های بایاس غیر وابسته به حالت، و یا ترم‌های وابسته به حالت غیر صفر شونده وجود داشته باشد نیز روش‌هایی برای تطبیق ساختاری سیستم با روش ریکاتی وابسته به حالت وجود دارد. همچنین غیرخطی بودن سیستم نسبت به کنترل را نیز می‌توان با تکنیک‌هایی پاسخ داد. با توجه به معادله (11) روش ریکاتی وابسته به حالت با جستجوی کمک حالتی به فرم (13) به نوعی از روش تنظیم کننده مربعی خطی تقليید می‌کند.

$$\lambda(t) = p(x(t), u(t))x(t) \quad (13)$$

همانند تنظیم کننده مربعی خطی لازم است جفت A, B کنترل‌پذیر و جفت C, A مشاهده‌پذیر باشد. روشی قطعی برای انتخاب این جفت ماتریس‌ها و پارامترسازی‌هایی که کنترل‌پذیر و مشاهده‌پذیر باشد وجود ندارد به همین دلیل در دینامیک‌های پیچیده ممکن است پارامترسازی مطلوب به راحتی حاصل نشود. اولین معادله‌ی حداقل سازی به فرم معادله (14) قابل نوشتن است:

$$\begin{aligned} u(t) &= -R^{-1}(B^T(x, u)P(x, u))x - \\ &\quad \sum_{i=1}^k u_i \left(\frac{\partial B_{1 \rightarrow m,i}}{\partial u}(x, u) \right) P(x, u) x \end{aligned} \quad (14)$$

بر اساس معادلات (13) و (14) معادلات شرط لازم بهینگی، معادله‌های شبیه ریکاتی به فرم معادله (15) بازنویسی می‌شود.

$$\begin{aligned} P(x, u)A(x) + A^T(x)P(x, u) - \\ P(x, u)B(x, u)R^{-1}B^T(x, u)P(x, u) + Q = \\ \left[\begin{array}{l} \dot{P}(x, u) + \sum_{i=1}^k x_i \left(\frac{\partial A_{1 \rightarrow m,i}}{\partial x}(x, u) \right)^T P(x, u) \\ - \sum_{i=1}^k u_i \left(\frac{\partial B_{1 \rightarrow m,i}}{\partial x}(x, u) \right) P(x, u) - \\ P(x, u)B(x, u)R^{-1} \sum_{i=1}^k u_i \left(\frac{\partial B_{1 \rightarrow m,i}}{\partial u}(x, u) \right) P(x, u) \end{array} \right] \end{aligned} \quad (15)$$

با فرض قابل صرف نظر بودن مشتقات SDC معادله (15) به صورت زیادی ساده می‌شود و معادله (16) حاصل می‌شود [24].

$$\begin{aligned} P(x, u)A(x) + A^T(x)P(x, u) - \\ P(x, u)B(x, u)R^{-1}B^T(x, u)P(x, u) + Q = 0 \end{aligned} \quad (16)$$

$$u(x) = -R^{-1}(B^T(x, u)P(x, u))x$$

بدلیل این فرض جواب استخراج شده شبکه بهینه خواهد بود و میزان بهینگی آن به اندازه عددی ترم‌های حذف شده وابسته خواهد شد البته اثبات شده است که این نوع جواب پایدار خواهد بود [24]. معادله‌ی فوق یک معادله‌ی

1. State Dependent Coefficients

با ارتفاع اوج و حضیض 1000 کیلومتر و 500 کیلومتر قرار دارد و فضاییمای رهگیر برای ملاقات از مدارات دورتر به سمت هدف مانور می‌دهد. شرایط اولیه، سرعتها و فواصل نسبی برای هر دو حالت به صورت جدول 1 انتخاب شده است، زمان شبیه سازی های صورت گرفته 20000 ثانیه است. همچنین دقت حل عددی 10^{-5} می‌باشد، برای تابع هزینه ماتریس‌های وزنی به صورت رابطه (22) بیان شده است. ماتریس‌های وزنی بر اساس مصالحهای میان حداکثر سطح تراست مجاز، زمان معمول برای چنین مانورهای ملاقاتی، مسیرهای هموارتر و رسیدن به عملکرد کنترلی مناسب انتخاب شده است:

$$Q = \begin{bmatrix} 0.01 & 0 & 0 & 0 & 0 & 0 \\ 0 & 0.01 & 0 & 0 & 0 & 0 \\ 0 & 0 & 0.01 & 0 & 0 & 0 \\ 0 & 0 & 0 & 0.001 & 0 & 0 \\ 0 & 0 & 0 & 0 & 0.001 & 0 \\ 0 & 0 & 0 & 0 & 0 & 0.001 \end{bmatrix} \quad (I-27)$$

$$R = \begin{bmatrix} 10000 & 0 & 0 \\ 0 & 10000 & 0 \\ 0 & 0 & 10000 \end{bmatrix} \quad (I-27\text{-ب})$$

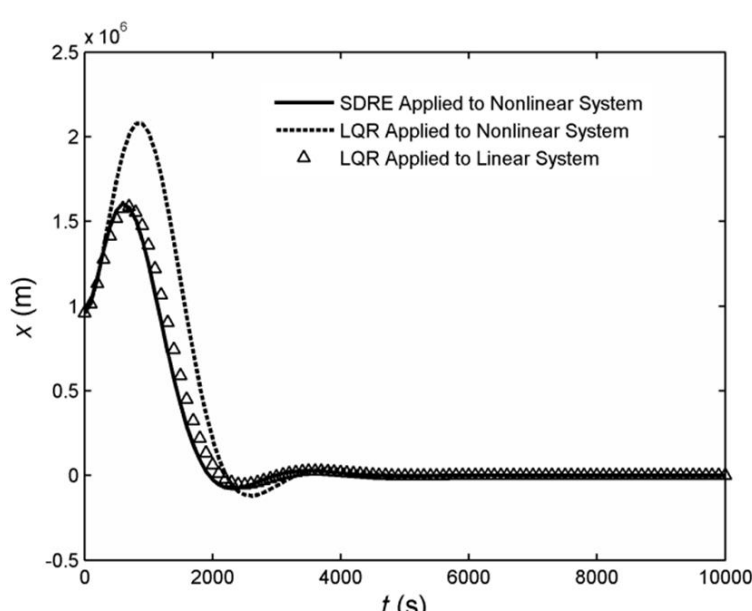
ماتریس‌های وزنی به گونه‌ای انتخاب شدند تا سطح نیروهای کنترلی در محدوده مجاز تراست تولیدی فضاییمایهای عملیاتی مانند سایوز و شاتل باشد. برای مثال سطح حداکثر نیروی کنترلی میانگین 3500 نیوتون توسط سیستم موتور اصلی مانور مداری فضاییمای سایوز و یا سیستم عملیات مداری فضاییمای شاتل قابل تولید است.

1-6- ملاقات در مدار دایروی

با توجه به اطلاعات مذکور مساله کنترل بهینه غیرخطی مدار دایروی حل شده است و نتایج استخراج شده است. شکل 2 و شکل 3 و شکل 4 تغییرات فواصل نسبی فضاییمای رهگیر نسبت به هدف را به ترتیب در جهت x ، y و z نمایش می‌دهند. در شکل 2 فاصله نسبی x براساس سه روش در زمان تقریبی 11200 ثانیه به فاصله 1 متری می‌رسد و پاسخ استقرار می‌یابد و با نوساناتی با دامنه کم شونده به سمت صفر پیش می‌رود. در شکل 3 فاصله نسبی y برای هر سه روش تقریباً در زمان 13000 ثانیه در فاصله 1 متری استقرار می‌یابد. نهایتاً در شکل 4 این اتفاق در 11100 ثانیه برای هر سه روش صورت می‌پذیرد.

جدول 1 شرایط اولیه

x_0 (km)	y_0 (km)	z_0 (km)	\dot{x}_0 (km/s)	\dot{y}_0 (km/s)	\dot{z}_0 (km/s)
960	-590	3290	0	2/85	0



شکل 2 تغییر فاصله نسبی x با اعمال سه روش

(21) استخراج خواهد شد:

$$\begin{bmatrix} : & : & : & : \\ \lambda_1 & \lambda_2 & \dots & \lambda_n \\ : & : & : & : \end{bmatrix} = \begin{bmatrix} Y \\ X \end{bmatrix} \quad (21)$$

در معادله (21) λ_x ها مقادیر ویژه‌ی ماتریس HM هستند. بدین صورت با حل سیستم معادلات دینامیکی به صورت معادلات دیفرانسیل معمولی با شرایط اولیه در هر مرحله از حل ماتریس HM تشکیل داده می‌شود و ماتریس P و نهایتاً کنترل u محاسبه می‌شود [25].

5- تبیین موقعیت و سرعت در دستگاه اینرسی زمین موز

با توجه به شکل (1) می‌توان جهت‌های یکه دستگاه حرکت نسبی را به صورت (22) بیان نمود:

$$\hat{O}_r = \frac{\vec{r}_t}{r_t}, \quad \hat{O} = \hat{O}_h \times \hat{O}_r, \quad \hat{O}_h = \frac{\vec{h}_t}{h} \quad (22)$$

با مفروض داشتن مدار حرکت ماهواره هدف در هر لحظه، موقعیت و سرعت این ماهواره در دستگاه اینرسی قابل استخراج است. سپس با استفاده از رابطه (23) مومنتوم زاویه‌ای این ماهواره نیز استخراج می‌شود:

$$\vec{h}_t = \vec{r}_t \times \vec{r}_t' \quad (23)$$

با استفاده از مومنتوم زاویه‌ای و بردار موقعیت و سرعت در دستگاه اینرسی برای ماهواره هدف، با کمک شکل (1) می‌توان بردار موقعیت ماهواره تعقیب کننده در دستگاه اینرسی را به صورت (24) استخراج کرد:

$$\vec{r}_c = \vec{r}_t + \vec{s} = (r_t + z)\hat{O}_r + x\hat{O}_x + y\hat{O}_y \quad (24)$$

لازم به ذکر است که معادلات حرکت نسبی (1) و (2) و (3) در بخش (2) با مشتق‌گیری از رابطه (24) و اعمال فرض‌های ساده‌ساز قابل استخراج هستند. همچنین در صورت تمایل می‌توان با استفاده از مشتق‌گیری برای فریم گردان به فرم (25)، سرعت‌های ماهواره تعقیب‌کننده را در دستگاه اینرسی به فرم (26) استخراج کرد:

$$\vec{r}_c = V_{rel} + \begin{bmatrix} 0 \\ 0 \\ \omega \end{bmatrix} \times \vec{r}_c \quad (25)$$

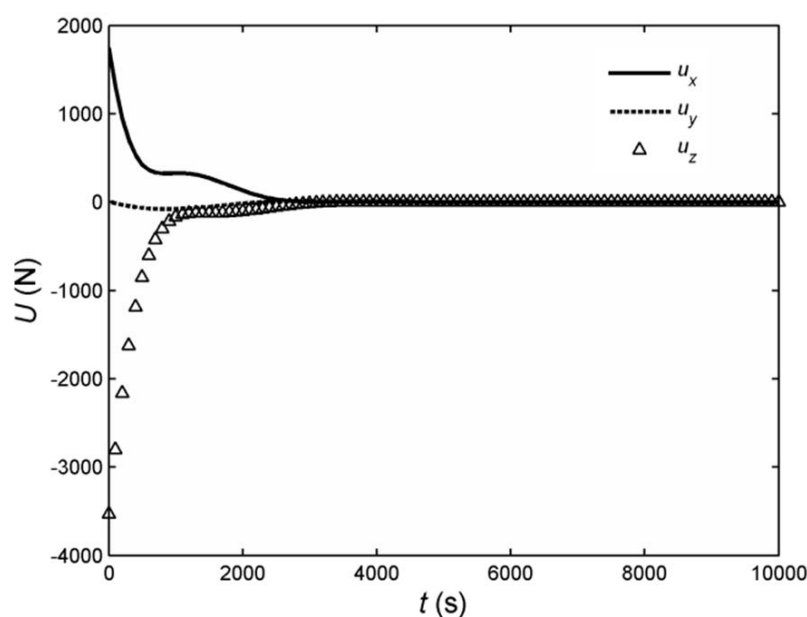
$$\vec{r}_c = \vec{r}_t + \vec{s} = (\dot{r}_t + \dot{z} - \omega(r_t + z))\hat{O}_r + (\dot{x} + \omega(r_t + z))\hat{O}_x + \dot{y}\hat{O}_y \quad (26)$$

که در رابطه (25) V_{rel} مبنی مشتق زمانی بردار \vec{r}_c بدون در نظر گرفتن چرخش ماهواره هدف می‌باشد و ترم دوم مبنی چرخش محورها است.

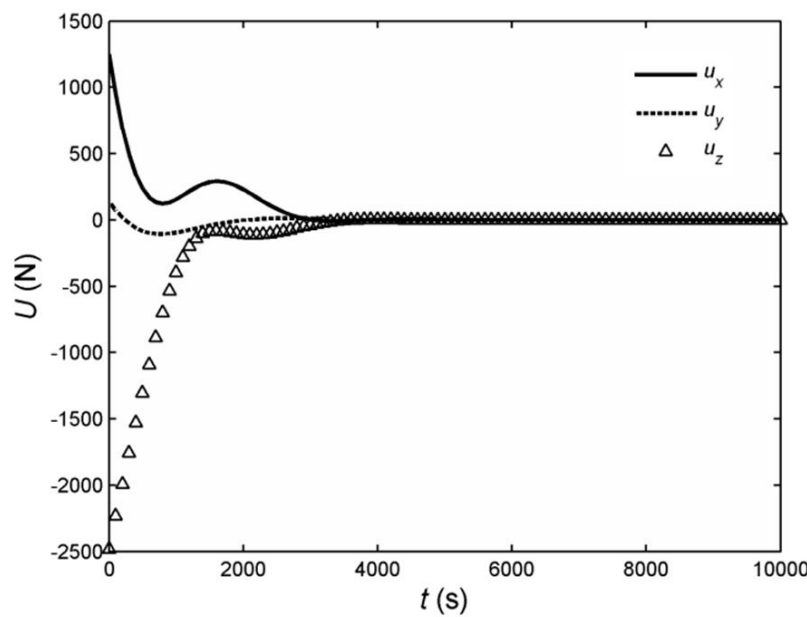
6- شبیه سازی و نتایج

دو سری شبیه سازی صورت گرفته است، ابتدا شبیه سازی‌هایی برای ملاقات در مدار دایروی صورت گرفته است که در این حالت از روش تنظیم کننده مربعی خطی برای دینامیک خطی و معادله ریکاتی وابسته به حالت برای دینامیک غیرخطی استفاده شده است. سپس شبیه سازی ملاقات با هدف در مدار بیضوی صورت گرفته است، در این حالت پس از نوشتن شرط لازم برای بهینگی، معادله ریکاتی غیروابسته به حالت با ماتریس‌های A, B متغیر با زمان حاصل می‌شود که این حالت با انتگرال گیری عددی از معادله ریکاتی از آخر حل می‌شود.

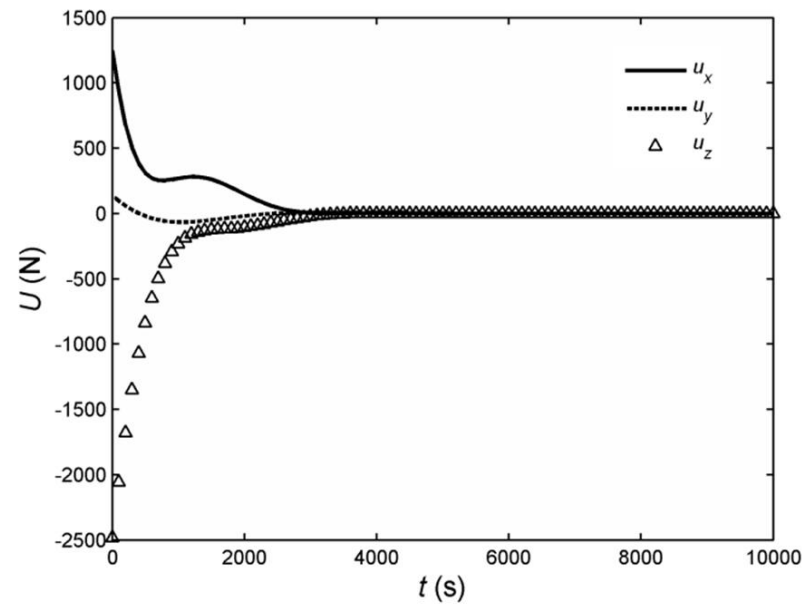
برای شبیه سازی‌های مساله ملاقات بین دو فضاییما که کنترل فعال روی فضاییما رهگیر قرار دارد، جرم فضاییما رهگیر 100 کیلوگرم در نظر گرفته شده است، فرض شده است که فضاییما هدف در حالت مدار دایروی 300 کیلومتری نزدیک زمین قرار دارد و در حالت بیضوی در مداری



شکل 6 کنترل بهینه اعمال شده با روش معادله ریکاتی وابسته به حالت



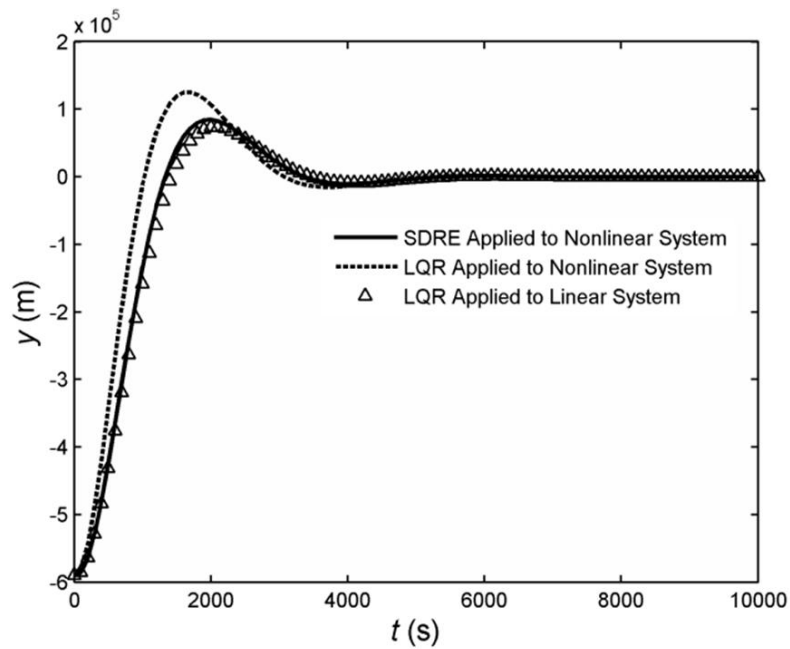
شکل 7 کنترل بهینه اعمال شده با روش تنظیم کننده مربعی خطی به سیستم خطی



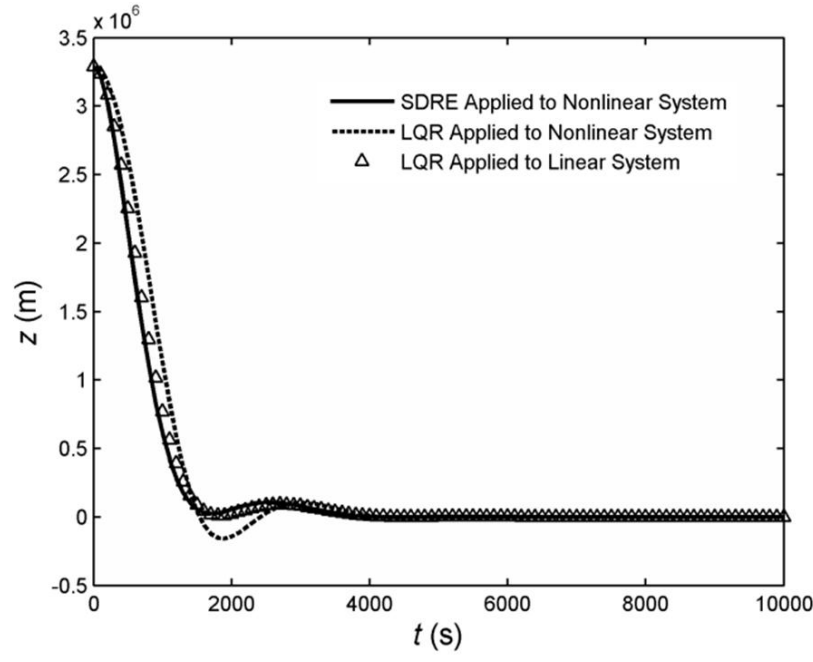
شکل 8 کنترل بهینه اعمال شده با روش تنظیم کننده مربعی خطی به سیستم غیرخطی با افزایش فواصل و سرعتهای نسبی اولیه تنها روش غیرخطی معتبر خواهد بود، چرا که در این حالت اثر ترموماتی غیرخطی زیاد خواهد بود. شکل 6 و شکل 7 و شکل 8 به بیان کنترل بهینه‌ی استخراج شده از طریق سه روش می‌پردازد. بیشترین کنترل مورد نیاز در شکل 6 در روش کنترل غیرخطی دیده می‌شود که مقداری برابر با 3500 نیوتون دارد. بیشترین کنترل مورد نیاز با روش تنظیم کننده مربعی خطی پیاده سازی شده بر روی سیستم غیرخطی در شکل 7 مقداری برابر با 2500 نیوتون دارد. در شکل‌ها شبیه سازی با روش تنظیم کننده مربعی خطی پیاده سازی شده بر روی سیستم غیرخطی در شکل 7 مقداری برابر با 15000 نیوتون دارد. در شکل‌ها شبیه سازی تا 10000 ثانیه برای مدار دایروی و 15000 ثانیه برای مدار بیضوی نمایش داده شده است و نهایتاً بیشترین کنترل مورد نیاز برای روش تنظیم کننده خطی بر روی سیستم خطی سازی شده در شکل 8 برابر با 2500

این مبین این موضوع است که روش غیرخطی و روش خطی اعمال شده بر سیستم خطی و غیرخطی در صورت وجود اثرات غیرخطی ضعیف و عدم قطعیت‌های پایین مشابه هم خواهند بود و به جای یکدیگر قابل استفاده هستند. مخصوصاً در فواصل نزدیک به هدف اثرات غیرخطی خود را کمتر نشان می‌دهند و مدل خطی مناسب است.

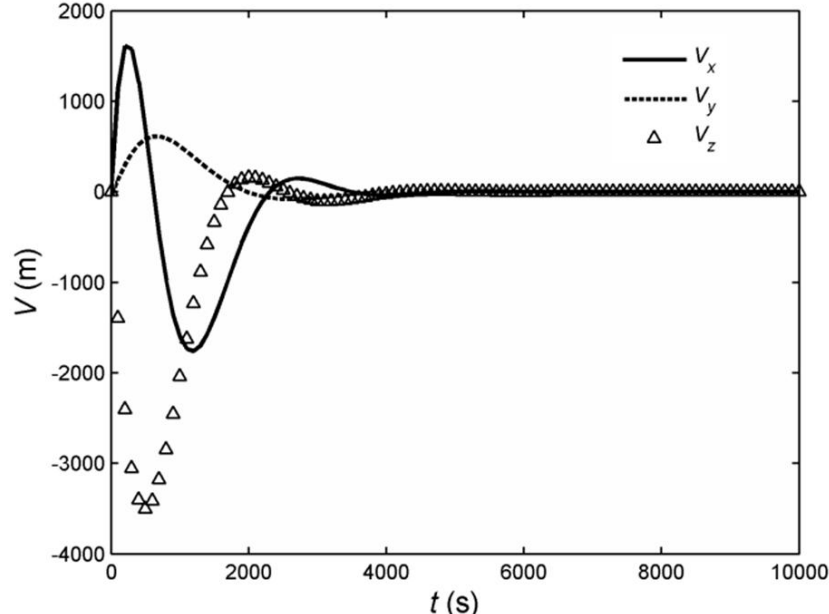
شکل 5 به بیان سرعتهای نسبی با روش کنترل غیرخطی پرداخته است. در زمان 13000 با روش کنترل غیرخطی ریکاتی وابسته به حالت سرعت‌ها به مقدار نهایی صفر خواهند رسید و امکان اتصال امن فراهم می‌شود.



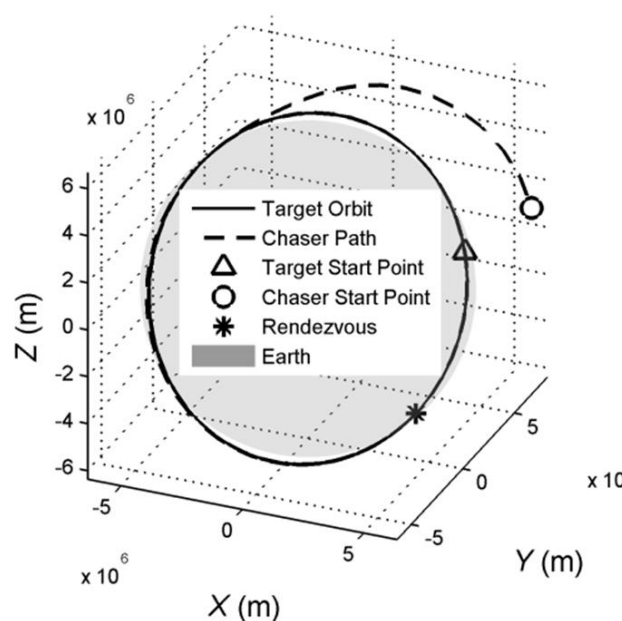
شکل 3 تغییر فاصله نسبی y با اعمال سه روش



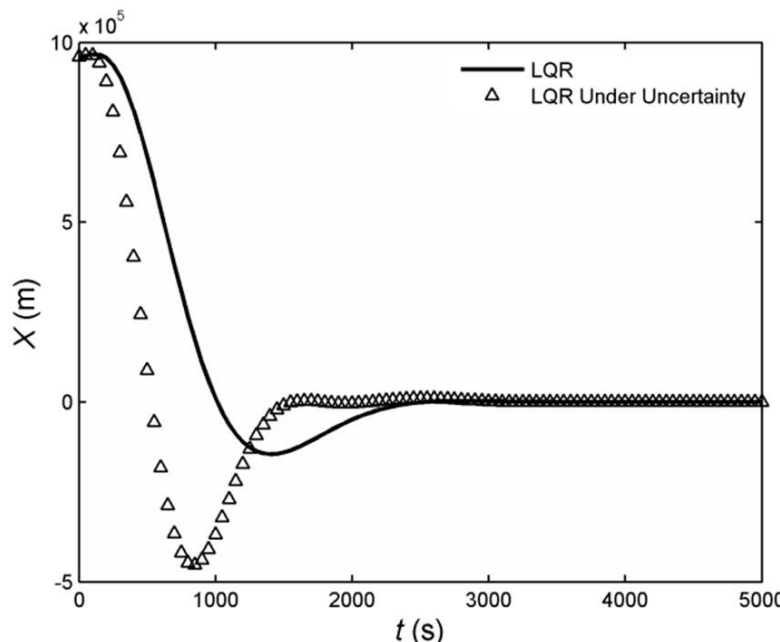
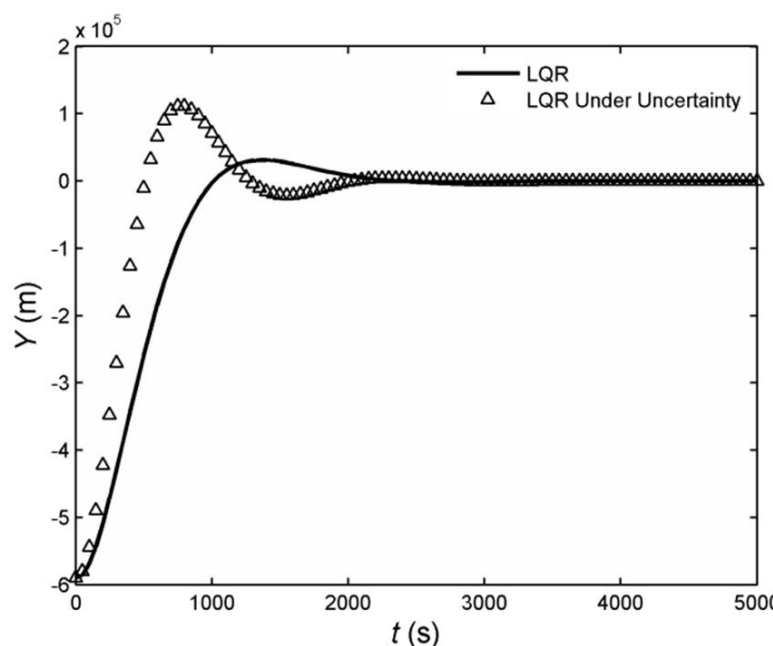
شکل 4 تغییر فاصله نسبی z با اعمال سه روش



شکل 5 سرعت‌های نسبی با اعمال روش معادله ریکاتی وابسته به حالت



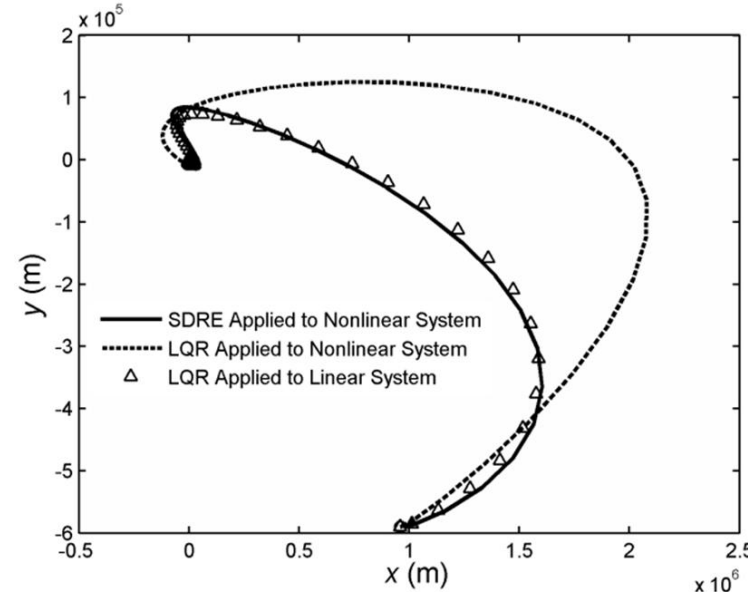
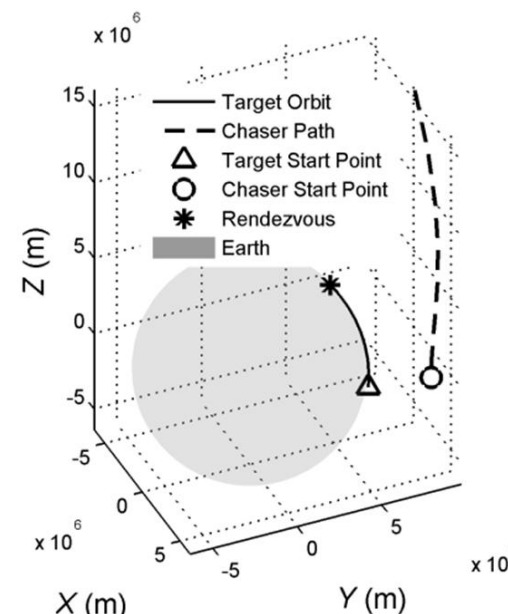
شکل ۱۱ مسیر حرکت فضایی‌مای رهگیر و هدف در دستگاه اینرسی

شکل ۱۲ تغییر فاصله نسبی x در حضور عدم قطعیت در حالت با روش کنترل خطیشکل ۱۳ تغییر فاصله نسبی y در حضور عدم قطعیت در حالت با روش کنترل خطی

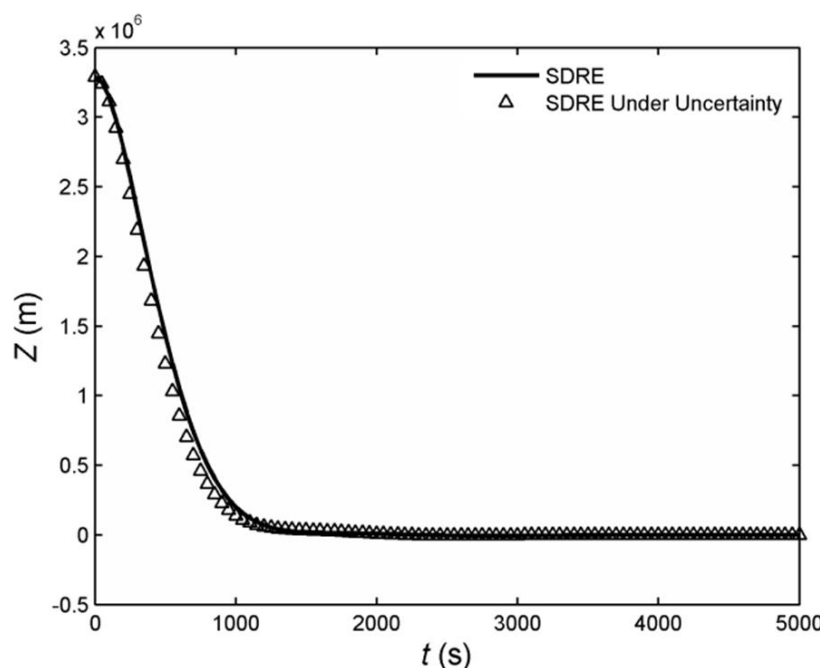
با توجه به سه شکل ۱۲، ۱۳ و ۱۴ مشخص است که در صورت بروز عدم قطعیت در حالت سیستم پاسخ‌ها به کنترل خطی تغییرات زیادی از خود نشان داده‌اند. همچنین مشاهده می‌شود که زمان استقرار روش خطی در حضور عدم قطعیت‌ها نسبت به حالت بدون عدم قطعیت عقب افتاده است شکل ۱۵، ۱۶ و ۱۷ بروز عدم قطعیت در حالت سیستم را با کنترل غیرخطی نمایش می‌دهند. با توجه به بررسی کنترل مشاهده می‌شود که تلاش کنترلی نیز در صورت بروز عدم قطعیت در سیستم خطی به نحو قابل توجهی افزایش پیدا می‌کند. با افزایش عدم قطعیت پاسخ نوسانی تر با فرکانس و دامنه بیشتر خواهد شد. در

نیوتن است. دیده می‌شود که روش ریکاتی وابسته به حالت به نیروی کنترلی اولیه بیشتری نیاز دارد.

تلاش کنترلی محاسبه شده برای روش غیرخطی 1679 کیلوژول ثانیه، برای روش تنظیم کننده خطی وارد شده به سیستم غیرخطی 1767 کیلوژول ثانیه و برای روش تنظیم کننده مربعی خطی با معالات خطی سازی شده برابر 1401 کیلوژول ثانیه می‌باشد. این اعداد براساس ماتریس‌های وزنی متغیر هستند. با تغییر ماتریس R, Q می‌توان مقادیر کنترلی در دسترس در فرآیند طراحی را استخراج کرد. در نهایت شکل ۹ مسیرهای $Y-X$ ترسیم شده است. مسیرها اختلافی چند صد کیلومتری تا چند متری باهم دارند. مشاهده می‌شود که مسیر حاصل از کنترل غیرخطی با اختلاف کمی با مسیر کنترل خطی بر سیستم خطی تطبیق پیدا می‌کند. کنترل خطی اعمال شده به سیستم غیرخطی مسیری دور را نمایش می‌دهد. در نقاطی که سرعت‌ها صفر می‌شود این اختلاف بین مسیرها بیشتر خواهد بود. شکل ۱۰ مسیر حرکت دو فضایی‌ما را بدون اعمال کنترل بر فضایی‌مای رهگیر نشان می‌دهد، واضح است که بدون اعمال کنترل با شرایط اولیه مذکور فضایی‌مای رهگیر از زمین دور می‌شود. شکل ۱۱ حرکت دو فضایی‌ما را نسبت به دستگاه اینرسی با اعمال کنترل نمایش می‌دهد. در صورت اعمال عدم قطعیت به حالت‌های سیستم، عدم قطعیت رندم و تا حداقل $\Delta A \leq 5A$ می‌توان مقاومت و پایداری کنترل کننده غیرخطی را با کنترل کننده خطی مقایسه کرد. شکل ۱۲، شکل ۱۳ و شکل ۱۴ فواصل نسبی را در بروز عدم قطعیت در حالت سیستم با کنترل خطی نشان می‌دهند.

شکل ۹ مسیر حرکت نسبی ملاقات با استفاده از سه روش در صفحه $X-Y$ 

شکل ۱۰ حرکت فضایی‌مای رهگیر و هدف در دستگاه اینرسی بدون اعمال کنترل

شکل ۱۷ تغییر فاصله نسبی Z در حضور عدم قطعیت با روش کنترل غیرخطی

بدین ترتیب با کمک مکانیک مداری و حل معادله کپلر می‌توان از زمان به آنومالی حقیقی و شعاع مداری در هر لحظه رسید. برای مدار کپلری دلخواه رابطه (28) برقرار است:

$$r = \frac{p}{1 + e \cos(\theta)} \quad (28)$$

که در آن p ثابت هندسی مدار، e خروج از مرکزیت، θ آنومالی حقیقی و r شعاع مداری است. سرعت زاویه‌ای مدار به صورت (29) تعریف می‌شود:

$$\omega = \frac{d\theta}{dt} = \sqrt{\frac{\mu}{r^3}} \quad (29)$$

با مشتق گیری از (28) و (29) بدست می‌آید:

$$\dot{\omega} = \frac{d\omega}{dt} = -\frac{3}{2} r^{-5/2} \sqrt{\mu} \frac{dr}{d\theta} \frac{d\theta}{dt}$$

$$\frac{dr}{d\theta} = \frac{p \sin(\theta)}{(1 + e \cos(\theta))^2} \quad (30)$$

با داشتن زمان از خضیض در مدار t می‌توان آنومالی متوسط M را به صورت (31) بدست آورد:

$$M = nt \quad (31)$$

که در آن $n = \sqrt{\frac{\mu}{a^3}}$ است. با استفاده از معادله کپلر (32) می‌توان آنومالی استخراج E را استخراج نمود:

$$M = E - e \sin(E) \quad (32)$$

که معادله (32) می‌بایست با روشی عددی در هر لحظه از زمان حل شود، با استخراج E می‌توان با کمک رابطه (33) آنومالی حقیقی را استخراج نمود:

$$\tan\left(\frac{E}{2}\right) = \sqrt{\frac{1-e}{1+e}} \tan\left(\frac{\theta}{2}\right) \quad (33)$$

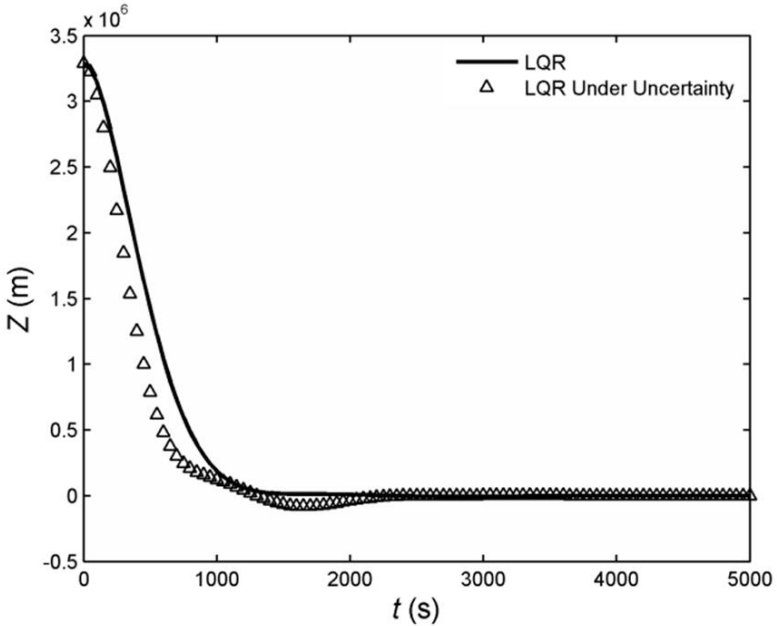
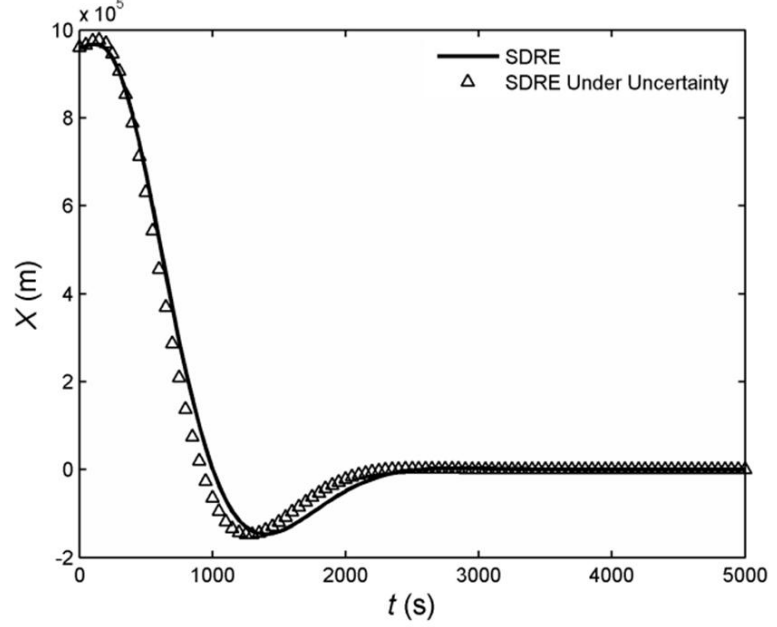
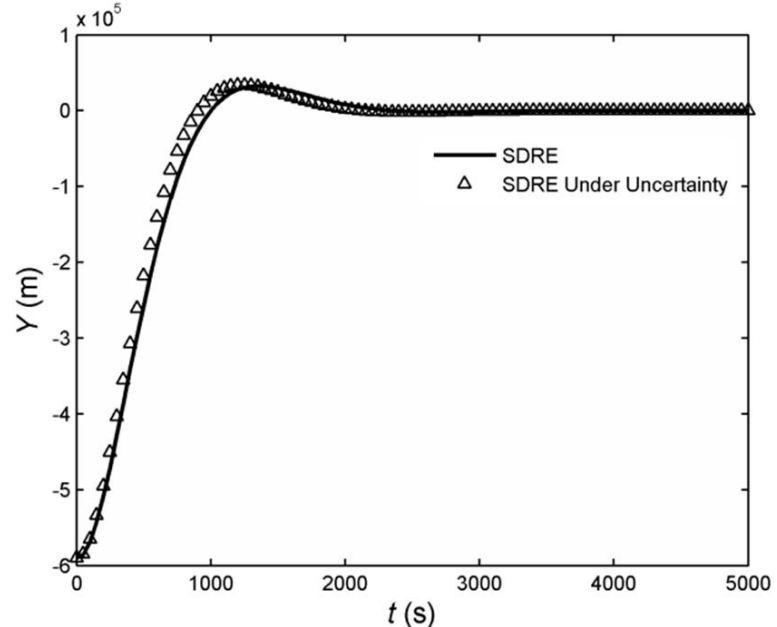
با استخراج θ می‌توان در هر لحظه $r, \omega, \dot{\omega}$ لازم در ماتریس (19) را استخراج نمود که برای حل مساله تنظیم کننده مربعی خطی متغیر با زمان نیاز هستند. در ادامه به نتایج حاصل از شبیه سازی پرداخته می‌شود. برای انجام شبیه سازی ها شرایط اولیه جدول ۱ و ماتریس های وزنی (22) در نظر گرفته شده است.

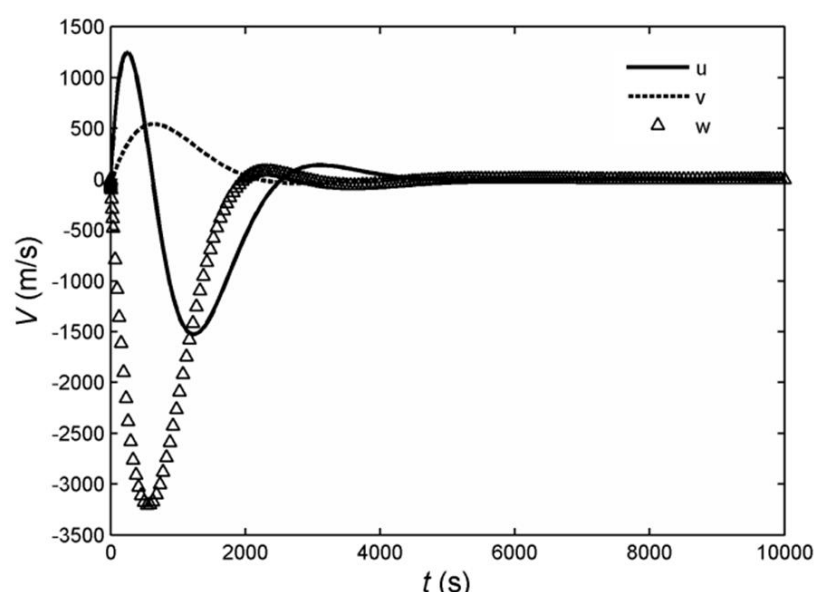
شکل ۱۸ موقعیت های نسبی را تحت اعمال کنترل بهینه خطی نمایش می‌دهد که در حدود ۱۲۰۰۰ ثانیه کنترل موقعیت های نسبی را به مقدار مطلوب می رساند. با توجه به شکل و پیش‌بینی راجع به جواب، جواب ها هموار و پایدار هستند. شکل ۱۹ کنترل های بهینه اعمال شده توسط سه تراستره را

صورتی که پاسخ با اعمال کنترل کننده غیرخطی به دلیل تشخیص مرحله به مرحله حالت و اعمال آن در کنترل کننده به صورت آنلاین چنین تغییراتی نخواهد داشت. به دلیل دینامیک مساله این عدم قطعیت ها باعث واگرایی نمی‌شوند ولی جواب خطی را از حالت بهینه خارج می‌کنند؛ چرا که کنترل به صورت آفلاین بر سیستم اعمال می‌شود و قدرت تنظیم عدم قطعیت ها را ندارد.

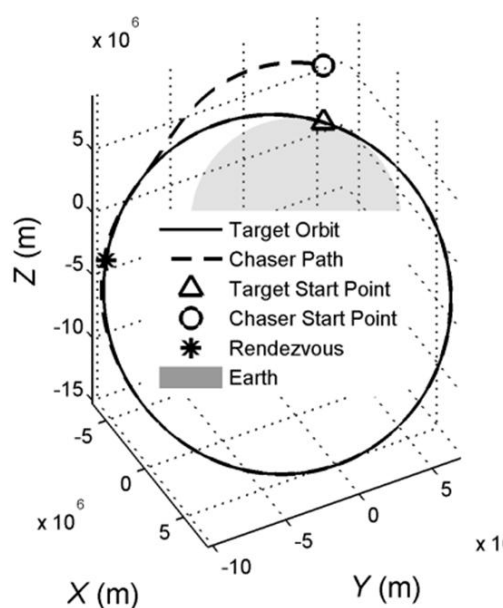
۶- ملاقات در مدار بیضوی

برای شبیه سازی ملاقات در مدار بیضوی همان گونه که در معادلات (3) دیده می‌شود، می‌بایست سرعت های زاویه ای و مشتق آن در هر لحظه از زمان محاسبه شود.

شکل ۱۴ تغییر فاصله نسبی Z در حضور عدم قطعیت در حالت با روش کنترل خطیشکل ۱۵ تغییر فاصله نسبی X در حضور عدم قطعیت با روش کنترل غیرخطیشکل ۱۶ تغییر فاصله نسبی Y در حضور عدم قطعیت با روش کنترل غیرخطی



شکل 21 تغییر سرعت‌های نسبی فضایی‌پیمای رهگیر نسبت به هدف



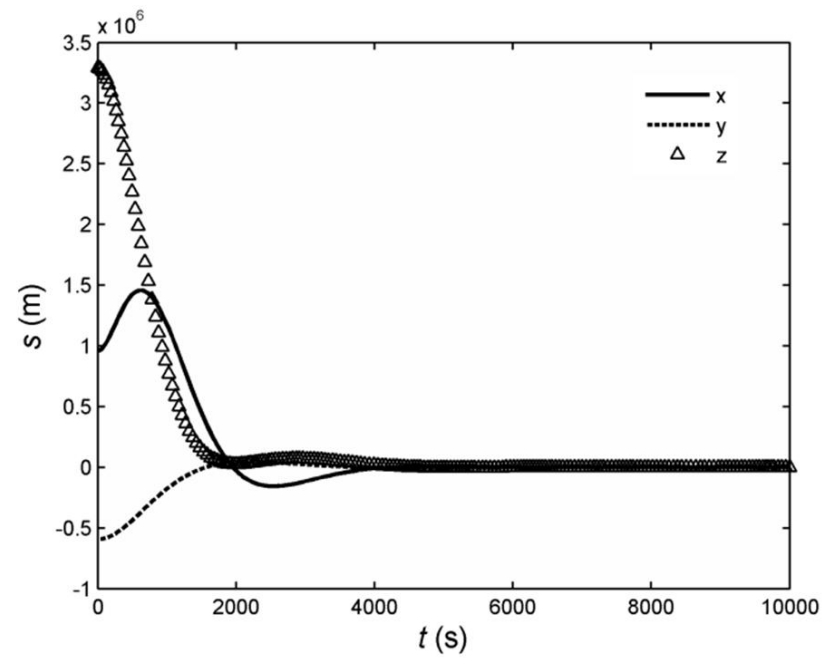
شکل 22 مسیر حرکت فضایی‌پیمای رهگیر و هدف در دستگاه اینرسی

شکل 22 موقعیت دو فضایی‌پیما را در طول مانور ملاقات مداری در دستگاه اینرسی زمین مرکز-زمین ثابت نمایش می‌دهد. فضایی‌پیما مدار خود را به هدف می‌رساند و با رهگیری مدار هدف به نوعی سعی در صفر کردن فواصل و سرعت‌های نسبی خواهد داشت. مدار مربوط به رهگیر یک مدار کپلری نیست چرا که با اعمال کنترل و با سرعتی متفاوت از هدف در آن حرکت می‌کند.

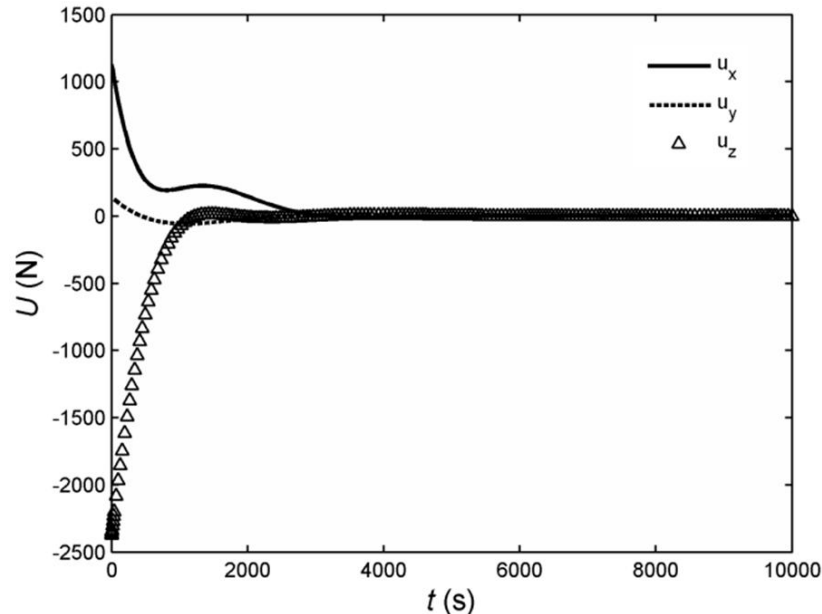
7- جمع‌بندی و نتیجه‌گیری

در حل مساله ملاقات برای هدفی در مدار دایروی مشاهده شد که روش کنترل غیرخطی مانند ریکاتی وابسته به حالت برای سیستم خطی و غیرخطی جواب‌ها را به مقادیر مطلوب که در واقع همان سرعت نسبی و فاصله‌ی نسبی صفر است رسانده است. جوابها پایدار و بدون خطای ماندگار و از حد خارج شدن هستند. با توجه به نزدیکی سه روش به یکدیگر می‌توان ادعا کرد که هر سه روش معتبر هستند، لیکن اثر ترم‌های غیرخطی با شرایط اولیه‌ی کمتر، کم است. با توجه به نتایج در صورت کاهش حالت‌های اولیه، یعنی کاهش فاصله و سرعت‌های نسبی اولیه جواب سه روش کنترل تنظیم کننده مربعی خطی و ریکاتی وابسته به حالت اعمال شده بر معادلات سیستم غیر خطی و روش تنظیم کننده مربعی خطی اعمال شده بر سیستم معادلات خطی یکی می‌گردد. مانور ملاقات مانور دقیقی است و بنابراین نیازمند استخراج حالت‌ها و کنترلی دقیق مبتنی بر دینامیک غیرخطی سیستم می‌باشد. در فواصل زیاد می‌باشد دینامیک غیرخطی برای سیستم در نظر گرفته شود؛ بنابراین لازم است کنترل غیرخطی بر سیستم اعمال شود. پاسخ‌های بهینه تحت کنترل خطی نسبت به واقعیت خطایی تا ۵ درصد دارند که این باعث به وجود آمدن خطایی در ملاقات می‌شود، در واقع امکان

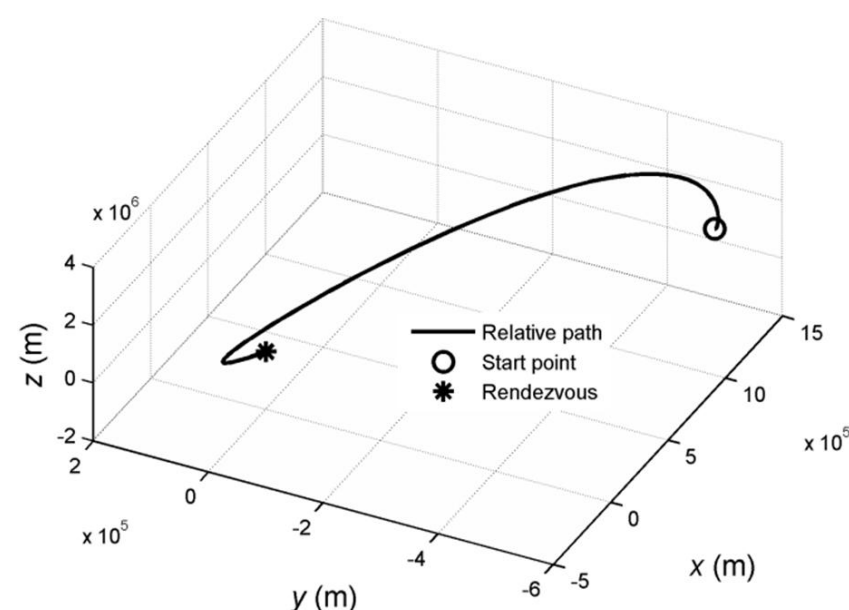
نمایش می‌دهد، برای این شکل تلاش کنترلی استخراج شده ۱۱۶۶۵ کیلوژول ثانیه می‌باشد؛ همچنین حداقل نیروی کنترل ۲۳۸۰ نیوتون است. شکل 20 مسیر مانور بهینه ملاقات نسبت به هدف را نمایش می‌دهد، در این شکل مانند شکل 9 در انتهای مسیر تغییر جهتی در هر سه محور مشاهده می‌شود. این تغییر جهت در انتهای مسیر چند بار تکرار می‌شود تا تقرب تا فاصله یک متری صورت پذیرد. در شکل 21 سرعت‌های نسبی تقریب نمایش داده شده است، لازم به ذکر است که در انتهای مسیر سرعت‌ها تا صفر شدن نوسان خواهند داشت. با استخراج موقعیت‌ها در دستگاه اینرسی می‌توان موقعیت دو فضایی‌پیما را نسبت به زمین نمایش داد.



شکل 18 تغییر فاصله نسبی با اعمال روش تنظیم کننده مربعی خطی زمان متغیر



شکل 19 کنترل بهینه اعمال شده با روش تنظیم کننده مربعی خطی متغیر با زمان



شکل 20 تغییر سرعت‌های نسبی فضایی‌پیمای رهگیر نسبت به هدف

معیار عملکرد یا تابع هزینه	J
آنومالی متوسط	M
جرم فضاییمای هدف	m
حرکت متوسط	n
بردار یکه دستگاه حرکت نسبی	\hat{O}
ثابت هندسی مدار	P
ضریب تعریف شده برای کمک حالت	$p(x(t), u(t))$
ماتریس وزنی حالت سیستم	Q
ماتریس وزنی کنترل سیستم	R
بردار شعاعی	r
شعاع زمین	R_0
بردار حرکت نسبی	s
دوره تناوب مدار	T
بردار کنترل سیستم	$u(t)$
سرعت‌های نسبی	U, V, W
سرعت نسبی	V
بردار حالت سیستم	$x(t)$
فاصل نسبی	X, Y, Z
زیر ماتریس‌های متناظر با مقادیر ویژه ماتریس همیلتونین	X, Y
آنومالی حقیقی	علامت یونانی
مقادیر ویژه ماتریس همیلتونین	θ
پارامتر استاندارد جاذبه	$\lambda_1, \lambda_2, \dots, \lambda_n$
سرعت زاویه‌ای مدار دایروی	μ
سرعت زاویه‌ای مدار	ω_0
ماهواره تعقیب کننده	ω
در جهت مومنتوم زاویه‌ای مدار	زیرنویس‌ها
ماهواره هدف	c
نسبی	h
در جهت فواصل نسبی	t
	rel
	X, Y, Z

9- مراجع

- [1] B. Aldrin, *Line-of-sight guidance techniques for manned orbital rendezvous*, PhD Thesis, Massachusetts Institute of Technology, Boston, pp. 1-20, 1963.
- [2] S.B. Louis, P. H. Jonathan, Safe Trajectories for Autonomous Rendezvous of Spacecraft, *Journal of Guidance, Control, and Dynamics*, Vol. 31, No. 5, pp. 1478-1489, 2008.
- [3] J. Michael K. Chudej, J. Pannek, Modelling and Optimal Control of a Docking Maneuver with an Uncontrolled Satellite, *Proceedings of The 7th Vienna International Conference on Mathematical Modelling*, Vienna University of Technology, Vienna, Austria, February 14-17, 2012.
- [4] J. M. Phillips, L. E. Kavraki, N. Bedrossian, Spacecraft rendezvous and docking with real-time, randomized optimization, In *AIAA Guidance, Navigation, and Control conference*, Austin, USA, August 11-14 2003.
- [5] W. Lu, Y. H. Geng, X. Q. Chen, F. Zhang, Relative position and attitude coupled control for autonomous docking with a tumbling target," *International Journal of Control and Automation*, Vol. 4, No. 4, pp. 1-22, 2011.
- [6] C. Andrade, R. Ramirez-Mendoza, M. Giacoman-Zarzar, R. Morales, A. Fejzic, A. Saenz-Otero, D. W. Miller, Robust Control Applied Towards Rendezvous and Docking, *ECC*, Budapest, Hungary, August 23-26, 2009.

اصابت با هدف و یا رد کردن آن وجود دارد. به همین دلیل استفاده از کنترل پهینه غیرخطی توصیه می‌شود. همچنین در صورت بروز عدم قطعیت‌ها در حالت سیستم کنترل غیرخطی از خود مقاومت نشان می‌دهد. در صورتی که کنترل خطی از کارامدی لازم برخوردار نخواهد بود. با توجه به اشکال مشاهده می‌شود تلاش کنترلی روش ریکاتی وابسته به حالت از روش تنظیم کننده مربعی خطی برای معادلات غیرخطی بیشتر است و این به دلیل این واقعیت است که ترم‌های غیرخطی در دینامیک سیستم باعث افزایش تلاش می‌شوند. همچنین از آن جا که روش دیگر تنظیم کننده مربعی خطی با معادلات خطی‌سازی شده بوده است، که در آن از ترم‌های غیرخطی صرف نظر شده است، تلاش کنترلی آن از بقیه کمتر است. این روش برای فواصل و سرعت‌های نسبی زیاد مناسب نیست و جوابهای غلط ارائه می‌دهد. در صورتی که روش ریکاتی وابسته به حالت خلاف این موضوع را نشان میدهد. در صورت افزایش شرایط اولیه مشاهده خواهد شد که جوابهای سه روش اختلاف بیشتری پیدا می‌کنند. در صورت اعمال عدم قطعیت به پارامترها، جواب‌ها در روش ریکاتی وابسته به حالت تا حدی مقاوم خواهد بود، در صورتی که تنظیم کننده مربعی خطی با وجود رسیدن به حالت‌های مطلوب فراجهش و زمان استقرار زیادتری داشت. با توجه به نتایج مشاهده می‌شود که هر سه روش جوابهای همواری را ارائه داده‌اند و این به دلیل شکل تابع هزینه می‌باشد. بدین صورت می‌توان جمع بندی کرد که حسن روش ریکاتی وابسته به حالت هموار بودن جواب‌ها، مقاومت به تغییر حالت‌ها، جوابگویی برای شرایط اولیه حالت‌های بزرگ و مقاومت نسبی به عدم قطعیت‌های دینامیک سیستم می‌باشد. برای حل ملاقات با هدف در مدار بیضوی در هر لحظه معادله کپلر حل شده است تا دینامیک معتبری از سیستم ارائه دهد، در این دینامیک متغیر با زمان و خطی روش تنظیم کننده مربعی به کار گرفته شد و مشاهده شد که نتایج مطلوبی استخراج می‌شود. این مساله به طور مستقل تا کنون مورد حل و تحلیل قرار نگرفته بود. در هر دو حالت تقرب به حالتی اسپیرال صورت می‌پذیرد که این به خاطر شرایط اولیه و دینامیک سیستم است. بسته به شرایط اولیه بدون اعمال کنترل دو وسیله می‌توانند نسبت به هم آرایش مختلفی داشته باشند، مسیر نسبی بسته داشته باشند و یا از هم دور شوند. با تغییر ماتریس‌های وزنی جوابهای متفاوتی قابل استخراج است. موضوع ملاقات و اتصال فضایی از به روز ترین مسائل هوافضایی است، در این راستا لازم است به بعضی زمینه‌های تحقیقات آینده در این حیطه اشاره کرد. بررسی اثرات کوپل کننده معادلات موقعیت و وضعیت نسبی، لحاظ کردن اثرات اغتشاش مداری در مانورهای ملاقات و اتصال و یا استفاده از میدان مغناطیسی زمین، پسای آبرودینامیک و یا فشار خورشیدی به عنوان نیروی کنترلی در این فرآیند از موضوعات مورد توجه تحقیقاتی در این زمینه می‌باشند.

8- فهرست علامت

ماتریس ضریب حالت سیستم	A
ماتریس ضریب کنترل سیستم	B
شتاپ‌های نسبی	a_x, a_y, a_z
آنومالی استریک مدار	E
خروج از مرکزیت مدار	e
همیلتونین	H
ماتریس همیلتونین	HM
مومنتوم زاویه‌ای مدار	h

- [16] M. Navabi, M. Barati, Dynamic Modelling of Spacecraft Formation Flying and Analysis of Models Accuracy under relative Distance, eccentricity and Earth obliquity perturbation, *Journal of Space Science and Technology*, Vol. 5, No. 1, pp. 51-59, 1391 (in Persian)
- [17] H. Pourtakdoust, R. Kamyar, Optimal Solution to Spacecraft Coupled Rendezvous and Docking with Gaussian Pseudospectral and Step by Step Linearization, *Journal of Space Science and Technology*, Vol. 2, No. 4, pp. 1-16, 1388 (in Persian)
- [18] W. R. Silva, L. Zanardi, Rendezvous Manuevers with Final Approach by R-bar to Target Satellite in LEO Orbit, *IV Workshop em Engenharia e tecnologia Espaciais*, Jose dos Campus, Brazil, November 5-8, 2012.
- [19] Y. Luo, J. Zhang, G. Tang, Survey of orbital dynamics and control of space rendezvous, *Chinese Journal of Aeronautics*, Vol. 27, No. 1, pp. 1-11, 2014.
- [20] H. S. London, Second approximation to the solution of the rendezvous equations, *AIAA Journal*, Vol. 1, No. 7, 1963, pp. 1691-1693, 1963.
- [21] J. Tschaune, P. Hempel, Rendezvous zu einem in elliptischer Bahn umlaufenden Ziel, *Astronautica Acta*, Vol. 11, No. 2, pp. 104, 1965.
- [22] Y. Koji, F. Ankersen, F, New state transition matrix for relative motion on an arbitrary elliptical orbit, *Journal of guidance, control, and dynamics*, Vol. 25, No. 1, pp. 60-66, 2002.
- [23] D. E. Kirk, *Optimal control theory: an introduction*, 3rd Ed, Courier Dover Publications, pp. 209-226, 2012.
- [24] S. C. Beeler, D. E. Cox, *State-dependent Riccati equation regulation of systems with state and control nonlinearities*, Nasa Technical Report, 2004.
- [25] D. K. Parrish, *Applications of Nonlinear Control Using the State-Dependent Riccati Equation*, PhD Thesis, air force inst of tech wright-patterson abf oh school of engineering, Ohio, 1995.
- [7] C. Andrade, *Robust Control Applied to Consistent Rendezvous and Docking*, Bs Thesis, Massachusetts Institute of Technology, Boston, pp. 23-25, 2008.
- [8] G. Ortega, J. M. Giron-Sierra, Genetic algorithms for fuzzy control of automatic docking with a space station, In *Evolutionary Computation, IEEE International Conference*, Perth, Australia, Vol. 1, pp. 157, Nov 29, 1995.
- [9] C. Tournes, Y. Shtessel, D. Foreman, Automatic Space Rendezvous and Docking using Second Order Sliding Mode Control, *InTech Open Access Publisher*, pp. 307-330, 2011.
- [10] M. Xin, H. Pan, Indirect robust control of spacecraft via theta-D optimal control solution, *AIAA Journal*, Vol. 4, No. 35, pp. 20-22, 2010.
- [11] Y. Crispin, D. Seo, Rendezvous between Two Active Spacecraft with Continuous Low Thrust, *Advances in Spacecraft Technologies*, Dr Jason Hall (Ed.), InTech, pp. 585, 2011.
- [12] G. Xiangyu, L. T. Kok, D. Guangren, an optimal control approach to robust control of nonlinear spacecraft rendezvous system with theta-D technique, *International Journal of Innovative Computing, Information and Control*, Vol. 9, No. 5, pp. 200-210, 2013.
- [13] G. Xiangyu, Y. Wei, L. Hao, An optimal control approach to robust control of spacecraft rendezvous system on elliptical orbit, *Control Conference (CCC)*, Chinese, IEEE, Vol. 31, pp. 2321- 2325, 2012.
- [14] R. Bevilacqua, *Optimization Techniques for Satellites Proximity Maneuvers*, PhD Thesis, Sapienza, Rome, 2006.
- [15] C. Vallet, M. Saponara, V. Barrena, A. Bemporad, E. N. Hartley, E.N., J. M. Maciejowski, A. Richards, A. Tramutola, P. Trodden, D. Choukroun, C. Philippe, G. Balas, A. Nebylov, O. Yanova, Model predictive control application to spacecraft rendezvous in mars sample return scenario, *Progress in Flight Dynamics, Guidance, Navigation, Control, Fault Detection, and Avionics*, EDP Sciences, Vol. 6, No. 11 pp. 137-158, 2013.